

通信制御装置における回線の優先処理を 考慮した性能解析手法について

太田元助、岩見彰子、櫻尾次郎
(日立製作所システム開発研究所)

1. まえがき

通信制御装置の1種である通信制御処理装置(以下CCPという。Communication Control Processor)の性能解析について、一方法を検討したので報告する。

CCPは、内蔵する通信制御プログラムにより回線に対するデータ送受信の制御を行ない、メッセージ・バッファ方式とキャラクタ・バッファ方式どちらを使用できないとどう融通性を失つか、ここでは、キャラクタ・バッファ方式で使用した場合を対象としている。

今回の対象モデルの特徴は次のとおりである。まず、CCPでの処理は、回線サービスとチャネル転送サービスとに大別されるが、このうち、回線サービスがより高いプログラム・レベルで処理される。次に、一般に、1台のCCPに複数種の回線速度が混在して接続されるが、その高速側回線からのサービス要求を優先処理するとしている。

CCPの性能解析は、処理部での待ち時間がどの許容値を超える確率を求める、という方法でなければならないのである。回線別の優先処理を行なわない場合には、M/M/1のモデルとみなして分布関数を求める解析法が適用できなか、優先処理を行なう今回のようにうなモデルについての解析の例を見当らない状況にある。

実際には、この種モデルの性能は、実機テストでの測定によるかあるいは最悪値の積み上げ計算に依らざる場合が多く、後者による場合は値が低めに出るものと予想される。ここでは、2速度の混在モデルという条件を与え、かつ近似式であるが、一つの解析式を得た。

2. 解析対象モデル

今回は、次のモデルを対象とした。

- (a) 2種の回線速度が混在するシステムとする。
- (b) CCPは、1チャネルに複数台接続される。
(図1)

また、伝送制御手順、メッセージ長、メッセージ発生間隔分布等が異なると、収容可能回線数に影響すると考えられる。さらに、簡単化を考へて、次のように対象モデルの条件を設定した。

- (1) 回線に対する1バイトの送信または受信ごとにプログラム処理が行われるが、送信と受信とごとに回当たりの処理時間が異なる。簡単化のため、全回線の処理時間につき、負荷の大きい受信処理時間の方を一概に適用するものとした。
- (2) 回線利用率が小さくなる程収容回線数を増せるものと予想されるが、安全側で考へ、回線利用率ほどの回線を1.0であるとみなしめた。
- (3) 回線数は半二重回線換算で表わすものとした。すなはち、全二重通信を行なつマハ万回線は、2回線であると数えた。

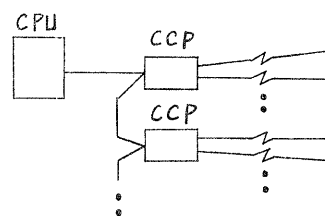


図1. 対象構成

(4) ある回線に着目すると、回線から1バイト受信完了するごとに処理要求(以後、サービス要求と称す。)が発生し、また、一定のバイト数単位でキヤネルを転送が行はれると、それらの処理時間は、CCP機種、CPU機種、伝送制御手順等に応じて値を用いる。

(5) 回線から受信してデータは、まず1バイト。バッファに収容され、次に2面バッファへ転送される。2面バッファは、1面当たりBバイトであるとする。(図2)

(6) 高速側回線を優先処理する。(図3)

(7) 2面バッファに
つき、1面の全バ
イトが収容完了に
なると、キヤネルサ
ービス用キューに
登録し、サービス
を待つ。(以後、
このサービス要求
をQサービス要求
と称す。)

(8) キヤネル空由の
転送を扱う待ち行
列は、図3のじと
く、処理の優先レ
ベルジヒに行列を
つくる。今回は、
2種の行列とした。

(9) CCPのプログラムは、5つのレベルに分けられ。
プログラム・レベル1が最も高位で、プログラム・
レベル2は回線に対する送受信を扱い、プログラム・
レベル3はキヤネル空由でのデータ転送を扱う。
Qサービス中にサービス要求が発生すると、Q
サービスは中断され、ムサービス要求が優先処理さ
れる。ムサービス完後、Qサービスは中断点から再
開される。

(10) メッセージをその先頭バイトから数え始め、Bバイトずつに切り、Bバ
イトを単位としてキヤネル空由の転送を行なう。

3. 解析

3. 1 概要

CCPの性能を決定づけるのは、サービス要求が発生したときと由此が预定時間内に処理されないと、そのデータの属するテキスト・ブロックの再送が必要となることである。CCPでは、図2に示すムサービスと図3に示すQサービスの部分で処理待ちを生ずる。ムサービスは、要求が発生してから1バイト・タイム以内に終了しないとデータの追突を生じ、追突しデータキードは追突されたデータを破棄することになる。この現象はオーバランと称される。Qサービスは、要求が発生してからBバイト・タイム以内に終了しないとオーバランとなる。

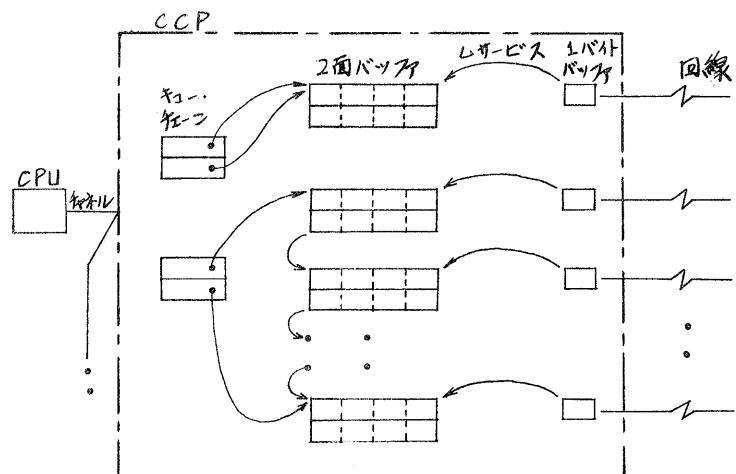


図2. 対象モデル

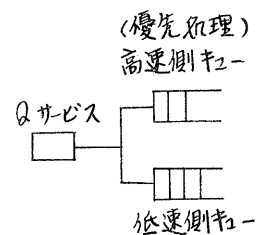


図3. 待ち行列モデル

いま、CCPに高速側1回線と低速側1回線を接続したとし、そのとき、Lサービス、Qサービスとも処理に十分余裕があったとする。次に、低速側回線数を増してもいくと、オーバランを生ずる確率も増す。ここで、そのシステムとしまして許容されるオーバラン確率値を設定すると、オーバラン発生確率値がその許容値に達レドヒテの接続回線数か、収容可能な限界を示すものとする。また、LサービスとQサービスとでは、プログラム・レベルの関係からQサービスの方が先に限界に達するものと仮定し、ここでは、Lサービスの解析を省略し、Qサービスの解析についてのみ述べるものとする。

3.2 着目回線について

高速側1回線と低速側n回線が接続されているとして、nを0, 1, 2, ... と増してもいいとき、高速側と低速側のどちらが先にオーバランの限界値に達するかであるが、高速、低速の速度比が大きいときは、概略試算の結果、高速側回線の方が先に限界に達することを認められたので、高速側回線のオーバランに着目して解析するものとする。

3.3 解析式の誘導 ----- 高速側1回線と低速側n回線

2面バッファの正面のサイズがB(バイト)であるなら、Qサービス要求がオーバランなしにキューに滞在できる時間は、各回線につき、それぞれの回線速度でのBバイト・タイムである。高速側回線下着目すると、そのBバイト・タイム($\equiv t_b$)中にプログラムが処理すべき時間の合計は、 t_b を超えてはならない。このことから、次式が得られる。

$$t_{li} \cdot \frac{n_d - (k-1)}{n_d} + t_{hj} + t_{rbj} + t_{ly} \cdot r + t_{la} (m-r)$$

$$+ w_{ch} < t_b, (k=1, 2, \dots, n_d; i=1, 2, \dots, n_{te}; j=1, 2, \dots, n_{th}) \quad (1)$$

$$P_n(t > t_b) = \sum_{i \leq n_{te}, j \leq n_{th}} (P_{t_{li}} \cdot P_{t_{hj}}) \sum_{k=1}^{n_d} P_{d_k} \left\{ \sum_{m=0}^n P_{n,m} \left(\sum_{r=r_0}^m P_{m,r} \right) \right\} \quad (2)$$

$$P_{n,m} = {}_n C_m P_L^m (1-P_L)^{n-m} \quad (3)$$

$$P_L = \frac{t_b}{t_a} \quad (4)$$

$$P_{m,r} = {}_m C_r P_F^r (1-P_F)^{m-r} \quad (5)$$

$$P_F = \frac{N_F}{N_T} \quad (6)$$

ここに、記号の意味は次のとおりである。

t_{li} : 低速側回線のQサービス時間。 n_{te} 種類あり。

t_{hj} : 高速側回線のQサービス時間。 n_{th} 種類あり。

t_{rbj} : t_b 中に発生する高速側回線のLサービス時間の計。

$n_d : t_{ei}$ を n_d 区間に等分する。

n : 固定レート低速側回線数。

w_{CH} : 1チャネルに CCP 上に複数台接続されたときの、平均のチャネル使用待合時間。

t_{er} : テキスト。ブロックの最終バイトのサービスは、通常他のバイトの2倍以上の時間かかる。その時間である。

t_b : キュー端在断時間。高速側回線から Q サービス要求が発生したとき、それがキューに端在する時間。この時間内に処理完了しないとオーバラップ発生となる。

t_{ea} : n 回線から t_b 中に m 個のムサービス要求が発生したとし、その m 個のうちの r 個が長時間サービス (t_{er}) で、残りの ($m-r$) 個の平均サービス時間が t_{ea} であるとする。

$P_n(t > t_b)$: 固定されたれに対するオーバラップ確率。

P_{tel} : 高速側回線の Q サービス要求が低速側回線の Q サービス進行中に発生したとし、複数種のサービス時間単位のうちの t_{el} のサービス時間単位が進行中であるときに発生する確率。

P_{tij} : 高速側回線の Q サービス要求が生じたとき、それが t_{ij} 時間を要するサービスである確率。

P_{dk} : 高速側回線の Q サービスが t_{dk} 進行中に発生したとし、その中の d_k 区間に発生する確率。

$P_{n,m}$: n 回線のうち、 t_b 中にムサービス要求を出すのがちょうど m 個である確率。ただし、ある回線から t_b 中に生ずるムサービス要求の最大個数は定まつてゐる。

$P_{m,r}$: ムサービス要求を出した m 個のうち、ちょうど r 個が長時間ムサービス要求である確率。

r_0 : n を固定し、それに対する $m=0, 1, 2 \dots, n$; $r=0, 1, 2 \dots, m$ の範囲の (m, r) の組合せを考え、式(1)によつマオーバランするか否かを判定する。そのとき、 r をゼロから上ずつ増してマオーバランを起す値を r_0 とおく。

次に算出式の意味につき、主なものを示す。

(a) 式(1)について

式(1)の全体は、高速側回線が 1 回線のみであるとし、その Q サービス要求が発生してから終了するまでの所要時間を、ムサービス割込み処理等のために終了が遅らされることに着目して表わしたものである。

(b) 式(1)の第 1 項

この $t_{ei} \cdot \frac{n_d - (k-1)}{n_d}$ は、高速側回線の Q サービス要求が、低速側回線の Q サービス進行中に発生したとし、高速側回線 Q サービス開始の遅れ時間を表わす。安全側の近似とし、高速側の Q サービス要求が発生したときに、低速側回線が必ず Q サービス中であるとみなしするものとする。

低速側回線の Q サービス正味時間を t_{ei} とおく。 t_{ei} のために高速側 Q サービス要求の開始が遅らされる状況は図 4 に示すとくである。次に、 t_{ei} 中のどの位置で発生したかにより開始待ち時間が異なつてくるのを、それを

n_d 区間に等分することを考える。さうに、その区間のどこで発生したかということであろうが、近似として、区間の始めに発生したとみなすものとする。これが、この項の意味である。 n_d の値が小であれば、より安全側に近似したことになる。一方、 n_d の値を増していくと、あるところで解の値(回線収容数)の伸びが飽和することが予想される。

(c) $t_{ly} \cdot r$ の項

テキスト・ブロツクにつき、最初のバイトから最終バイトまでの各バイトにつき、そのレサービス

所要時間を見ると、最終バイトの処理が他のバイトの2倍以上であるので、各回線からの最終バイト・サービス要求が、 t_b 中でどのように集中するかが問題であるとするものである。すなわち、 t_b 中に r 件の最終バイト・サービス要求があると、その 1 件当たりの処理に t_{ly} かかるとして、計 $t_{ly} \cdot r$ だけの時間がかかる。

(d) 式(1) での判定について

式(1)、式(2) での変数は、次の値をとり得る。

$$\begin{cases} n = 0, 1, 2, \dots, n_{\max}; & m = 0, 1, 2, \dots, n \\ r = 1, 2, \dots, n_{t_l}; & r = 0, 1, 2, \dots, m \\ j = 1, 2, \dots, n_{t_n}; & k = 1, 2, \dots, n_d \end{cases}$$

これらの変数につき、それぞれの値を定めると、式(1)により、その組合せがオーバランとなるか判定できる。

こうして、この変化範囲で示されるすべての組合せに対して、式(1)により、オーバランとなる組合せを求める。

例えば、 $n = 7$ とし、 j, m, k はそれぞれある値としたとき、オーバランとなる m, r の組合せは図5のごとくとなる。

(e) 式(2) について

式(2) は、式(1)においてオーバランする組合せを探し出したとき、その組合せを構成する各

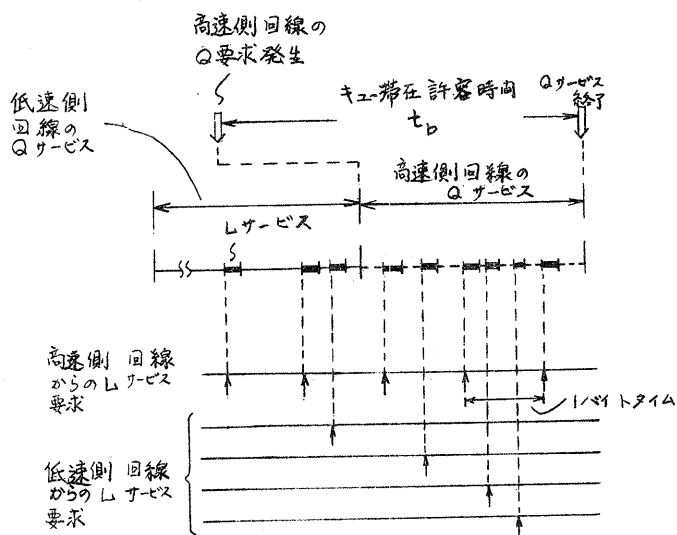


図4. 高速側回線のQサービス要求が発生してから、サービス終了するまでの所要時間

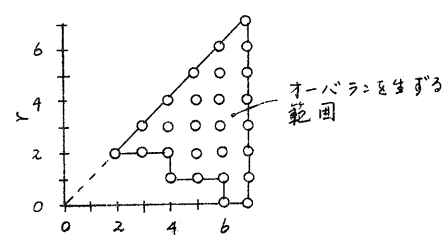


図5. $n=7, j, m, k$ をある値としたとき、式(1)においてオーバランを生ずる m, r 組合せの範囲の例

要素についてそれを他の要素値をとる確率を求め、次にその組合せをとる確率を求め、さらに派生したのにに対して、オーバランを生ずるすべての組合せの出現確率の総和を求めたものである。これが、そのモデルにおけるれに対すオーバラン確率値となる。

(f) 式(3)、式(4)について

低速側のある1回線に着目し、その1ペイト・タイムを t_a とおく。
高速側回線のサービス要求のキューライズ時間は t_b であるから、 $t_a > t_b$ のとき、 t_b 中にその回線からレサービス要求の発生する確率は式(4)で与えられる。また、低速側回線が n 回線あって、その n 回線から m 伯のレサービス要求の発生する確率は式(3)で与えられる。

(g) 式(5)、式(6)について

どの回線も同様な伝送シーケンスであり、かつあるペイト数を単位として伝送シーケンスが繰り返されるものとする。各の繰り返し単位には n ペイト数を N_T とおき、そのうち N_F 伯が最終ペイト・サービス要求であるとする。すると、ある回線からレサービス要求が発生したときそれが最終ペイト・サービス要求である確率は式(6)で表わされ、また、 t_b 中に各回線からたかだか1伯ずつしか発生しないとして各回線から計 m 伯のレサービス要求が発生したとき、そのうちちょうど r 伯が最終ペイト・サービス要求である確率は式(5)で与えられる。

3.4 解析式の拡張その1 ---- サービス時間分布

式(1)、式(2)は、レサービス時間が2種類のみであるとみなしたが、3種類の場合には次のように表わされる。同様にして、任意種類数の場合へ拡張できる。

(a) 高速側回線は1回線である。

(b) 低速側回線は1種類の速度で、 n 回線あるとする。

(c) n 回線のうちから、キューライズ時間 t_b 中に m 伯のレサービス要求が発生するものとする。

(d) m 伯のうち、ちょうど r 伯が t_{l_r} 時間のサービス要求である。

(e) 残りの $(m-r)$ 伯のうち、ちょうど u 伯が t_{l_u} 時間のサービス要求である。

(f) さらに残りの $(m-r-u)$ 伯は、 t_{l_o} 時間のサービス要求である。

これらを式(1)、式(2)に対応させて表わすと次式が得られる。

$$t_{l_i} \cdot \frac{n_d - (k-1)}{n_d} + t_{h_j} + t_{h_{bj}} + t_{l_r} \cdot r + t_{l_u} \cdot u + t_{l_o} (m-r-u) \\ + w_{ch} < t_b \quad \dots \quad (7)$$

$$P_n(t > t_b) = \sum_{i \leq n_{t_l}, j \leq n_{t_h}} (P_{t_{l_i}} \cdot P_{t_{h_j}}) \\ \cdot \sum_{k=1}^{n_d} P_{d_k} \left[\sum_{m=0}^n P_{n,m} \left\{ \sum_{r=0}^m P_{m,r} \left(\sum_{u=u_0}^r P_{r,u} \right) \right\} \right] \quad \dots \quad (8)$$

3.5 解析式の拡張その2 ---- 高速側複数回線

高速側を複数回線とした場合への拡張について考えてみる。

これにす、システムが高速側回線のみから成るものとみなし、そのQサービス時間が低速側回線からのLサービス要求に割込まれて延びられる値を平均値的に求め、M/M/Iのモデルとみてその分布函数により解析する方法を考えよう。

ここで、これまで述べてきた解析方法の延長の方向で考えてみる。

このモデルで問題となるのは、高速側回線数をn₁とし、そのうちのある回線からQサービス要求が来たとき、他の(n₁-1)回線のうちからQサービス要求が既に出でていてサービス待ちになつていろものが何回線あるかということである。

可能性としては、0, 1, 2, ..., (n₁-1)の各場合があり得る。ここで、安全側への近似を行ない、次のようにモデルを考える。すなわち、高速側のある回線からQサービス要求が来たとき、低速側回線のQサービスが進行中であり、また、そのQサービスが終了してないうちに高速側n₁回線のすべてからQサービス要求が来、かつ、いま着目していろのはそのn₁のうち最後に要求を出した回線であるとみる。

Qサービス要求のキー帶在旅客時間t_bと高速側速度でのBペイト・タイムにみると、このt_b中に高速側回線のおのがからぬずりぬずつのQサービス要求が発生する。

ここで、高速側回線の記号に添字1をつけ、低速側回線に添字2をつけることにして式(11)、式(12)に対応した式を導くと次式が得られる。

$$t_{l_i} \cdot \frac{n_d - (k-1)}{n_d} + t_{QHr_1} \cdot r_1 + t_{QH_u} \cdot u_1 + t_{QH_a} \cdot (n_1 - r_1 - u_1) \\ + \sum_{n_1} t_{L_{R_b}} + t_{L_{R_2}} \cdot r_2 + t_{L_{U_2}} \cdot u_2 + t_{L_{A_2}} (m_2 - r_2 - u_2) + W_{ch} < t_b \quad (9)$$

$$P_{n_1, n_2} (t > t_b)$$

$$= \sum_{i \leq n_{t_L}} P_{t_{l_i}} \sum_{k=1}^{n_d} P_{d_k} \sum_{r_1=0}^{n_1} P_{n_1, r_1} \sum_{u_1=0}^{n_1 - r_1} P_{n_1 - r_1, u_1} \\ \cdot \sum_{m_2=0}^{n_2} P_{n_2, m_2} \sum_{r_2=0}^{m_2} P_{m_2, r_2} \sum_{u_2=r_2}^{r_2} P_{r_2, u_2} \quad \dots \quad (10)$$

ここで、式(9)中のt_{QHr₁}とr₁は、高速側回線のQサービスでt_{QHr₁}時間要するものがn₁位のQサービス要求のうちr₁位あることを表わし、また式(10)中のP_{n₁, r₁}は、n₁回線のうち、t_{QHr₁}のQサービスを行なうものがr₁回線となる確率を表わす。また式(9)中の $\sum_{n_1} t_{L_{R_b}}$ は、高速側n₁回線についての、t_b中にあけるLサービス時間の計である。

式(9)でオーバランするか判定し、式(10)により、オーバランする組合せにつきそれぞれの組合せの出現確率を求め、さらにオーバランするすべての組合せについてオーバラン確率の総和を求めるものである。

4. あとがき

式(1)、式(2)をはじめ特に式(9)、式(10)はかなりの近似を行つたものであろうが、いづれも安全側(処理能力値が小となる方向)に寄りたるものであり、これらの式にて能力の目安値が得られるものと考える。

また、各計算式の中で、ある量がいくつかの値をとるとき、その最悪値で代表させて組合せ数を減らし、より簡単化を図つてもよい。

図6に、一つの計算結果を示す。

これらの解説式は今後、実機テスト値等との比較により検証されていくことを望ましい。

5. 謝辞

御討議いただいた東北大 電気通信研究所跡口研究室の白鳥氏はじめとする方々に感謝いたします。

6. 参考文献

- (1) 練習英典: 応用待ち行列理論, 日刊投連, 1975.
- (2) 西田俊夫: 待ち行列の理論と応用, 朝倉書店, 1974.

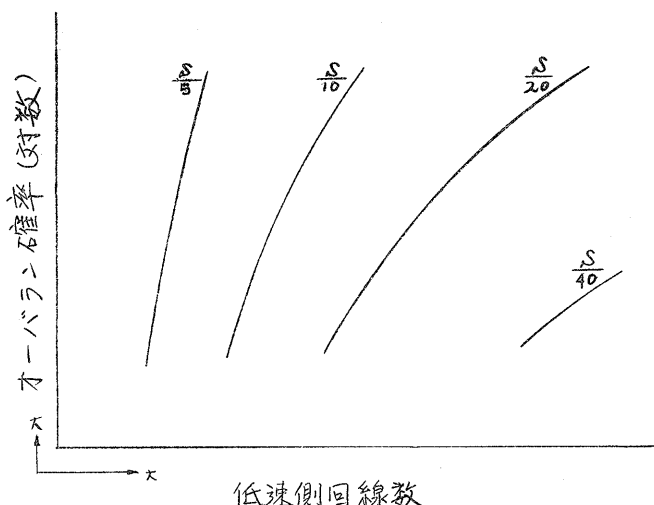


図6. 高速(速度 α)1回線と他の1速度の組合せにおける回線数とオーバーハンプ率の関係例
(半対数表示)